

8

苏州大学 数字信号处理 课程试卷 (A) 卷 共 6 页

考试形式 闭 卷 2024 年 1 月

院系 电子信息学院 年级 21 专业 电子信息工程

学号 2115404005 姓名 袁冲 成绩

总 分	题 号	一	二	三	四			
	题 分	30	35	20	15			
合分人	得 分	30	35	19	12			

得分

30

一、课程教学目标 1 (共 30 分)

掌握数字信号处理的理论和知识体系所需的基本数理知识, 并能将信号处理理论用于描述和分析实际系统的解决方案。

2896  
24

- 1、(8 分) 已知一连续信号为  $x(t) = \cos(2\pi f_1 t) + \cos(2\pi f_2 t)$ , 其中  $f_1 = 1605\text{Hz}$  和  $f_2 = 1645\text{Hz}$ 。若以采样频率  $f_s = 10\text{kHz}$  对该信号进行采样, 用 DFT 近似分析其频谱时, 能够分辨这两个谱峰需要最少的样本点数是多少?

$$|f_1 - f_2| \geq 2\Delta f = \frac{2f_s}{N} \therefore N \geq \frac{20000}{40} = 500 \text{ 至少 } 500 \text{ 个}$$

- 2、(12 分) 已知模拟滤波器的系统函数  $H(s) = \frac{2}{(s+3)(s+5)}$ , 设采样周期为  $T$

- (1) 用脉冲响应不变法求相应的数字滤波器的系统函数  $H_1(z)$ ;
- (2) 用双线性变换法求相应的数字滤波器的系统函数  $H_2(z)$ 。
- (3) 相较于脉冲响应不变法, 双线性变换法的主要特点是什么?

$$(1) H(s) = \frac{1}{s+3} - \frac{1}{s+5} \Rightarrow H_1(z) = \frac{1}{1-e^{-3T}z^{-1}} - \frac{1}{1-e^{-5T}z^{-1}}$$

$$(2) H_2(z) = H(s) \Big|_{s=\frac{2}{T} \frac{1-z^{-1}}{1+z^{-1}}} = \frac{2}{\left(\frac{2}{T} \frac{1-z^{-1}}{1+z^{-1}} + 3\right) \left(\frac{2}{T} \frac{1-z^{-1}}{1+z^{-1}} + 5\right)}$$

(3) 双线性变换法可以解决多值映射问题, 从而解决脉冲响应存在的频谱混叠问题。但其非线性变换, 在高频处有更严重的失真。

3、(10分) 设  $x_1(n) = 2\delta(n) + \delta(n-1) + 3\delta(n-2) + 4\delta(n-3)$

$x_2(n) = 3\delta(n) + 2\delta(n-1) + 4\delta(n-2) + \delta(n-3)$

(1) 计算线性卷积结果;

(2) 计算上述两个信号的循环卷积结果。

(1)  $x_1(n) * x_2(n) = \sum_{m=0}^3 x_1(m) \cdot x_2(n-m) = x_1(0)x_2(n) + x_1(1)x_2(n-1) + x_1(2)x_2(n-2) + x_1(3)x_2(n-3)$   
 $= 6\delta(n) + 7\delta(n-1) + 19\delta(n-2) + 24\delta(n-3) + 21\delta(n-4) + 19\delta(n-5) + 4\delta(n-6)$

(2)  $x_1(n) \otimes x_2(n) = [\tilde{x}_1(n) \otimes \tilde{x}_2(n)] R_3(n) = [\sum_{m=0}^3 \tilde{x}_1(m) \cdot \tilde{x}_2(n-m)] R_3(n)$   
 $= [\tilde{x}_1(0) \tilde{x}_2(n) + \tilde{x}_1(1) \tilde{x}_2(n-1) + \tilde{x}_1(2) \tilde{x}_2(n-2) + \tilde{x}_1(3) \tilde{x}_2(n-3)] R_3(n)$

设  $y(n) = x_1(n) \otimes x_2(n)$  有  $y(0)=27$   $y(1)=26$   $y(2)=23$   $y(3)=24$ , 其他均为0

得分  
35

## 二、课程教学目标2 (共35分)

具备数字信号处理的基础知识, 能使用数学、自然科学、工程基础和专业知识分析实际工程中的结构、信号等相关具体问题。

4、(10分) 已知一线性常系数差分方程  $y(n] - ay(n-1) = x(n]$  表示一个因果 LSI 系统的输入输出关系。

求 (1) 系统函数及其收敛域;

(2) 如果要求系统稳定, 参数  $a$  的取值范围是多少?

(3) 画出该系统的信号流图。

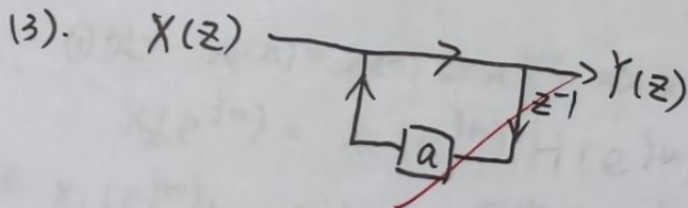
(1) 双边 Z 变换

$$Y(z)(1 - az^{-1}) = X(z)$$

$$H(z) = \frac{Y(z)}{X(z)} = \frac{1}{1 - az^{-1}} \quad |z| > |a|$$

(2) 要求极点在单位圆内

$$\text{则 } |a| < 1 \quad \text{故 } -1 < a < 1$$



5、(12分) 设一个离散系统的频率响应如下

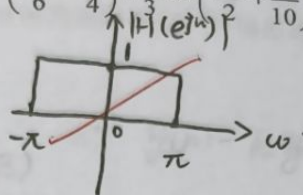
$$H(e^{j\omega}) = \begin{cases} +j & -\pi < \omega < 0 \\ -j & 0 < \omega \leq \pi \\ 0 & \omega = 0 \end{cases}$$

(1) 画出  $-\pi < \omega < \pi$  范围的幅频响应  $|H(e^{j\omega})|$ ;

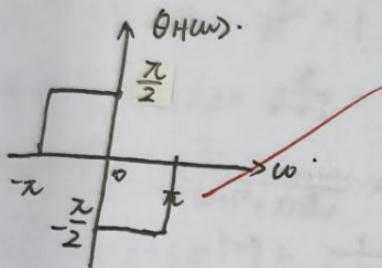
(2) 画出  $-\pi < \omega < \pi$  范围的相频响应  $\theta_H(\omega)$ ;

(3) 求输入信号为  $x(n) = \cos\left(\frac{\pi n}{10}\right) + \frac{1}{2}\cos\left(\frac{\pi n}{6} - \frac{\pi}{4}\right) + \frac{1}{3}\cos\left(\frac{\pi n}{2} + \frac{\pi}{10}\right)$  时, 系统的输出  $y(n)$ 。

(1)



(2)

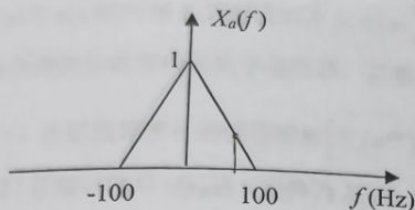


(3)

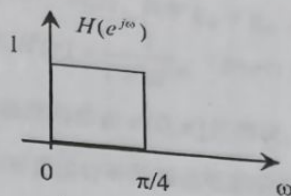
$$\begin{aligned} y(n) &= \cos\left(\frac{\pi n}{10} - \frac{\pi}{2}\right) + \frac{1}{2}\cos\left(\frac{\pi n}{6} - \frac{3}{4}\pi\right) + \frac{1}{3}\cos\left(\frac{\pi n}{2} - \frac{2}{5}\pi\right) \\ &= \sin\left(\frac{\pi n}{10}\right) + \frac{1}{2}\sin\left(\frac{\pi n}{6} - \frac{\pi}{4}\right) + \frac{1}{3}\sin\left(\frac{\pi n}{2} + \frac{\pi}{10}\right) \end{aligned}$$



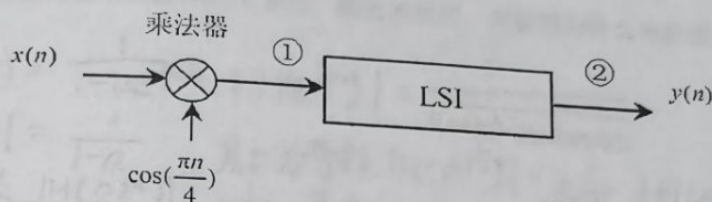
6. (13分) 设有模拟信号  $x_a(t)$ , 其频谱如图(1)所示。该信号经采样形成离散信号  $x(n)$ ,  $x(n)$  经图(2)所示的处理后得到输出  $y(n)$ 。图(2)中 LSI 系统的频率响应如图(3)所示。
- (1) 分别画出采样频率为 800Hz 和 150Hz 时  $x(n)$  在  $-\pi < \omega < \pi$  范围内的信号频谱;
  - (2) 求图(2)中 LSI 系统的单位脉冲响应;
  - (3) 求采样频率  $f_s = 800\text{Hz}$  时, 图(2)中 ① 和 ② 处在  $-\pi < \omega < \pi$  范围内的信号频谱。



图(1)



图(3)



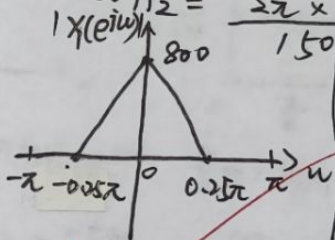
图(2)

$$N) \omega_H = \frac{2\pi f_H}{f_s}$$

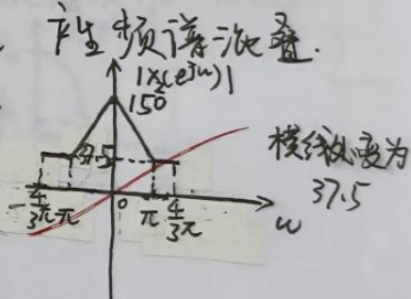
$$\omega_{H1} = \frac{2\pi \times 100}{800} = 0.25\pi$$

$$\omega_{H2} = \frac{2\pi \times 100}{150} = \frac{4}{3}\pi$$

$f_s = 800\text{Hz}$  时



$f_s = 150\text{Hz}$  时

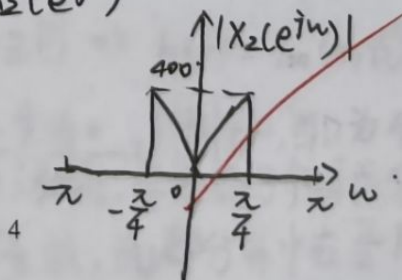
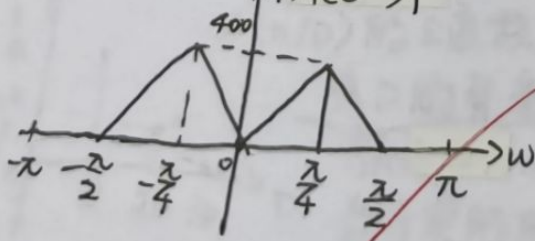


$$(2) h(n) = \frac{1}{2\pi} \int_{-\infty}^{\infty} H(e^{j\omega}) e^{j\omega n} d\omega = \frac{\sin(\frac{\pi}{4}n)}{\pi n}$$

$$(3) \text{ ①处 } x_1(n) = x(n) \cos(\frac{\pi n}{4}) \Rightarrow x_1(e^{j\omega}) = \frac{1}{2} [x(e^{j(\omega - \frac{\pi}{4})}) + x(e^{j(\omega + \frac{\pi}{4})})]$$

$$x_2(e^{j\omega}) = x_1(e^{j\omega}) H(e^{j\omega})$$

画出  $|x_1(e^{j\omega})|$  可得  $|x_2(e^{j\omega})|$



得分  
19

### 三、课程教学目标 3 (共 20 分)

具备对常用信号、线性系统的特性、功能及应用进行分析和理解的基础能力，能够理解滤波器、调制解调系统以及信号的时频特性和基本构成原理，能够对实际工程问题 and 应用对象进行方案分析。

7、(10 分) 已知系统函数  $H(z) = \frac{z}{z-k}$  ( $k$  为常数)

(1) 写出该系统的差分方程;

(2) 求出  $k=0, 0.5, -0.5$  三种情况下系统的频率响应，并指出相应系统特性。

1)  $Y(z)(z-k) = X(z) \cdot z$

$Y(z)(1-kz^{-1}) = X(z) \Rightarrow y(n) - ky(n-1) = x(n)$

2)  $k=0 \quad H(z) = \frac{z}{z} = 1 \Rightarrow H(e^{j\omega}) = 1$  全通滤波

$k=0.5 \quad H(z) = \frac{z}{z-0.5} = \frac{1}{1-0.5z^{-1}} \Rightarrow H(e^{j\omega}) = \frac{1}{1-0.5e^{-j\omega}}$

$\therefore |H(e^{j\omega})| = \frac{2}{\sqrt{(2-\cos\omega)^2 + \sin^2\omega}} = \frac{2}{\sqrt{5-4\cos\omega}}$  低通滤波特性

$k=-0.5 \quad H(e^{j\omega}) = \frac{1}{1+0.5e^{-j\omega}} \Rightarrow |H(e^{j\omega})| = \frac{2}{\sqrt{5+4\cos\omega}}$  高通滤波特性

8、(10 分) 利用窗函数法设计 FIR 数字低通滤波器，其技术指标要求如下：

$f_s=10000\text{Hz} \quad A=75\text{dB} \quad f_p=2250\text{Hz} \quad f_r=2500\text{Hz}$

(1) 给出用窗函数法设计线性相位 FIR 数字低通滤波器的主要步骤及关键公式;

(2) 简述不同窗函数类型对阻带衰减的影响。

1) ① 求出通、阻带衰减频率，过液带  $\Delta\omega$ ，截止频率  $\omega_c$ ，衰减

$\omega_p = \frac{2\pi f_p}{f_s} = \frac{9}{20}\pi = 0.45\pi \quad \omega_r = \frac{2500 \times 2\pi}{10000} = 0.5\pi$

② 计算理想低通滤波器的单位脉冲响应。  
 $\Delta\omega = \omega_r - \omega_p = 0.05\pi \quad \omega_c = \frac{\omega_r + \omega_p}{2} = 0.475\pi$

$h(n) = \frac{\sin(\omega_c n)}{\pi n}$

③ 选择窗函数  $w(n)$ ，对  $h(n)$  加窗得  $h_d(n)$ ，计算窗长  $N$

④  $h_d(n) = h(n)w(n)$

绘制  $h_d(n)$  的幅频响应验证结果

(2) 从矩形窗、汉宁窗、哈明窗、布莱克曼窗、凯泽窗的顺序来说，其衰减效果逐渐变好，其中凯泽窗给出参数就可完成设计，较为精确。



得分

12

## 四、课程教学目标 4 (共 15 分)

具备对数字信号处理的分析能力,能运用基本原理、数理工具和工程方法,完成电子信息领域相关的复杂工程问题与系统单元、过程的描述与设计。

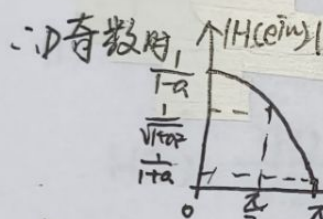
9、混响是指声音在室内经过多次衰减和反射后混合的效果,是音乐厅、剧院、礼堂等建筑物的重要声学特性。工程设计中,可用数字混响器模拟实际空间的混响效果。已知混响信号  $y(n)$  与  $x(n)$  的时域关系可表示为  $y(n) = \sum_{m=0}^{\infty} g_m x(n-mD)$ , 其中  $g_m < g_{m-1}$ , 且  $D$  为整数。梳状滤波器是常用的数字混响器, 其系统函数为  $H(z) = \frac{1}{1-az^{-D}}$  ( $0 < a < 1$ )。

- (1) 求梳状滤波器的幅频响应  $|H(e^{j\omega})|$ , 大致画出其在  $\omega \in [0, \pi]$  的形状;
- (2) 若数字信号  $x(n)$  的  $z$  变换为  $X(z)$ ,  $x(n/M)$  为对其进行补零插值得到的信号 ( $M$  为整数), 证明  $x(n/M)$  的  $z$  变换为  $X(z^M)$ ;
- (3) 求梳状滤波器的单位脉冲响应  $h(n)$ , 画出其波形, 并说明为什么该滤波器可用作数字混响器。

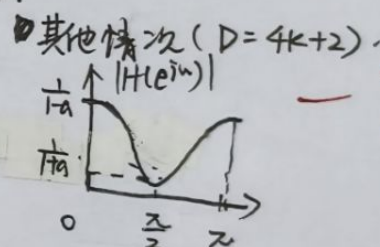
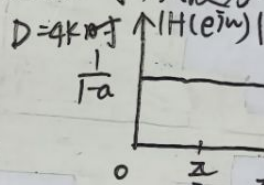
$$(1) H(e^{j\omega}) = \frac{1}{1-ae^{j\omega D}} \quad |H(e^{j\omega})| = \frac{1}{\sqrt{1+a^2-2a\cos\omega D}}$$

$$|H(e^{j0})| = \frac{1}{1-a}, \quad \text{若 } D \text{ 为奇数 } |H(e^{j\frac{\pi}{2}})| = \frac{1}{\sqrt{1+a^2}}, \quad |H(e^{j\pi})| = \frac{1}{1+a}$$

若  $D$  为偶数  $|H(e^{j\frac{\pi}{2}})| = \frac{1}{1-a}$ , 其中  $D=4k$  ( $k \in \mathbb{Z}$ ) 时  $|H(e^{j\frac{\pi}{2}})| = \frac{1}{1-a}$ ; 其他情况下  $|H(e^{j\frac{\pi}{2}})| = \frac{1}{1+a}$



$D$  为偶数时, 大致为以下两种



$$(2) X'(z) = \sum_{n=0}^{\infty} x(n/M) z^{-n} \quad \text{令 } t = n/M$$

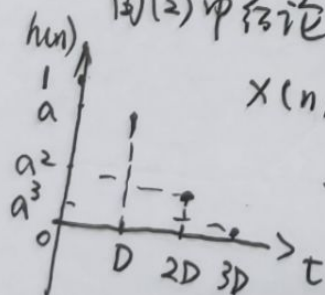
$$= \sum_{t=0}^{\infty} x(t) z^{-tM} = \sum_{n=0}^{\infty} x(n) z^{-Mn}$$

而  $X(z) = \sum_{n=0}^{\infty} x(n) z^{-n}$  可知当  $z = z^M$  时,

$$\text{有 } X(z^M) = X'(z) = \sum_{n=0}^{\infty} x(n/M) z^{-n}$$

(3) 先求  $H_0(z) = \frac{1}{1-az^{-1}} \Rightarrow h_0(n) = a^n u(n)$ .

由(2)中结论



$$x(n/D) \text{ 的 } z \text{ 变换为 } X(z^D) \Rightarrow h(n) = h_0(n/D) = a^{\frac{n}{D}} u(\frac{n}{D})$$

除  $D$  的整数倍外, 全为 0。例如, 当  $D$  为  $4k+2$  ( $k \in \mathbb{Z}$ ) 时, 其频谱如 (1) 中的第 3 张图, 可将部分频率成分保持较大的增益, 相当于实际的反射成分, 而部分集中在  $\pi$  附近的频率使其衰减, 相当于实际的多次衰减。